

УДК 533.6.011.55

© 2006 г. И. Г. БРЫКИНА

**АСИМПТОТИЧЕСКОЕ РЕШЕНИЕ ДВУМЕРНЫХ УРАВНЕНИЙ  
ТОНКОГО ВЯЗКОГО УДАРНОГО СЛОЯ В РАЗРЕЖЕННОМ ГАЗЕ  
ДЛЯ ХОЛОДНОЙ ПОВЕРХНОСТИ**

Исследуется обтекание затупленных тел гиперзвуковым потоком разреженного газа в переходном от континуального к свободномолекулярному течению. Путем асимптотического анализа выявлены три режима течения разреженного газа в зависимости от соотношения между определяющими параметрами задачи. Для первого режима, соответствующего холодной поверхности, получены асимптотические решения уравнений тонкого вязкого ударного слоя при малых числах Рейнольдса для осесимметричной и плоской задачи. Простые аналитические выражения для давления и коэффициентов теплопередачи и трения получены в зависимости от газодинамических параметров набегающего потока и геометрических параметров обтекаемого тела. Значения этих коэффициентов с уменьшением числа Рейнольдса приближаются к своим значениям в свободномолекулярном потоке. Найден параметр подобия гиперзвукового обтекания тел разреженным газом в рассматриваемом режиме. Проведены сравнения асимптотических решений с численными решениями и результатами расчета методом прямого статистического моделирования Монте-Карло.

*Ключевые слова:* гиперзвуковое течение, разреженный газ, малые числа Рейнольдса, коэффициенты трения и теплопередачи, тонкий вязкий ударный слой, асимптотическое решение.

Задачи гиперзвукового обтекания тел разреженным газом в переходном от континуального к свободномолекулярному режиме течения возникают при полете космических аппаратов в верхних слоях атмосферы Земли на высотах  $\sim 100$  км и выше, а также при движении метеороидов, и характеризуются малыми числами Рейнольдса  $Re$ . В этом режиме обтекания большинство континуальных моделей – полные и параболизованные уравнения Навье – Стокса, вязкий ударный слой, пограничный слой [1] – дают коэффициенты теплопередачи и трения, которые с уменьшением числа  $Re$  беспредельно возрастают, превышая свои значения в свободномолекулярном потоке, поэтому в переходном режиме обтекания для решения таких задач обычно используется метод прямого статистического моделирования Монте-Карло [2–4] или применяются приближенные инженерные методики сращивания свободномолекулярного решения с погранслойным [4, 5]. Однако для расчета теплопередачи и аэродинамических коэффициентов на поверхности тела в переходном режиме возможен и континуальный подход – на основе использования модели тонкого вязкого ударного слоя, применимость которой для расчета этих параметров в переходном режиме была впервые отмечена в [6] для течения в окрестности точки торможения осесимметричного тела в случае нулевой температуры поверхности и линейной зависимости коэффициента вязкости от температуры. В дальнейшем применимость модели тонкого вязкого ударного слоя для переходного режима обтекания была показана в [7, 8] для течения в окрестности точки торможения пространственного тела в случае произвольной температуры поверхности и степенной зависимости коэффициента вязкости от температуры.

Данная работа является продолжением [7, 8], где исследовалось обтекание затупленного тела разреженным газом в окрестности пространственной точки торможения. В данной работе рассматривается двумерная задача гиперзвукового обтекания затуплен-

ных тел разреженным газом для осесимметричных и плоских течений. Путем асимптотического анализа выявлены три режима течения разреженного газа в зависимости от соотношения между определяющими параметрами задачи. Уравнения тонкого вязкого ударного слоя при малых числах  $Re$  для режима I сильно охлажденной поверхности решаются с помощью метода последовательных приближений [9] и асимптотического разложения в ряды. Простые аналитические выражения для давления и коэффициентов теплопередачи и трения получены в зависимости от числа  $Re$ , отношения удельных теплоемкостей, показателя степени при степенной зависимости коэффициента вязкости от температуры, числа Прандтля и геометрии обтекаемого тела.

Коэффициент теплопередачи и давление с уменьшением числа  $Re$  приближаются к своим значениям в свободномолекулярном потоке. Коэффициент трения приближается к свободномолекулярному пределу при нулевом продольном градиенте давления (строгая модель тонкого вязкого ударного слоя). Проводится сравнение асимптотических решений с численными [10] и с результатами расчета методом прямого статистического моделирования Монте-Карло [2, 3]. Полученные в работе аналитические решения могут найти применение в задачах аэродинамики и теплообмена космических аппаратов, а также в задачах аэротермобаллистики метеороидов [11].

**1. Постановка задачи.** Рассмотрим двумерные стационарные вязкие гиперзвуковые течения около гладких затупленных тел при малых числах Рейнольдса. Будем использовать ортогональную систему координат  $x, y$ , естественным образом связанную с поверхностью обтекаемого тела:  $x$  – расстояние вдоль поверхности от точки торможения,  $y$  – расстояние от тела по нормали. Система двумерных уравнений тонкого вязкого ударного слоя в переменных Дородницына для плоских ( $v = 0$ ) и осесимметричных ( $v = 1$ ) течений имеет вид

$$\begin{aligned} \frac{\partial f}{\partial \zeta} &= u, \quad \beta' f + \xi \frac{\partial f}{\partial \xi} = -\rho(c_1 u + c_2 v) \\ \beta u^2 + \xi u \frac{\partial u}{\partial \xi} - (\beta' f + \xi \frac{\partial f}{\partial \xi}) \frac{\partial u}{\partial \zeta} &= -\frac{\xi}{\rho \cos^2 \alpha} \frac{\partial p}{\partial \xi} + \frac{\partial}{\partial \zeta} \left( \frac{\mu \rho \xi}{Re \cos \alpha \Delta^2} \frac{\partial u}{\partial \zeta} \right) \\ \xi u \frac{\partial g}{\partial \xi} - (\beta' f + \xi \frac{\partial f}{\partial \xi}) \frac{\partial g}{\partial \zeta} &= \frac{\partial}{\partial \zeta} \left( \frac{\mu \rho \xi}{\sigma Re \cos \alpha \Delta^2} \frac{\partial}{\partial \zeta} \left( g - \frac{(1-\sigma) \cos^2 \alpha}{1-T_w} u^2 \right) \right) \\ \frac{\partial p}{\partial \zeta} &= \frac{\Delta \cos^2 \alpha}{R} u^2, \quad \frac{1}{\rho} = \frac{\varepsilon T}{p}, \quad \mu = T^\omega, \quad g = \frac{H - H_w}{H_\infty - H_w}, \quad T = g(1 - T_w) + T_w \quad (1.1) \\ \beta' &= \frac{d \ln \Delta}{d \ln \xi} + \beta_w, \quad \beta_w = \xi \left( \frac{\xi \operatorname{tg} \alpha}{R} + \frac{v \sin \alpha}{r_w} \right), \quad \beta_1 = \frac{\xi \operatorname{tg} \alpha}{R} \\ c_1 &= \frac{x \partial \zeta}{\rho \partial x}, \quad c_2 = -\frac{\xi \operatorname{tg} \alpha}{\Delta}, \quad H = c_p T_0 T + \frac{V_\infty \cos^2 \alpha u^2}{2} \\ \xi &= \frac{x}{R_0}, \quad \zeta = \frac{1}{\Delta R_0} \int_0^y \rho dy, \quad \Delta = \frac{1}{R_0} \int_0^{y_s} \rho dy, \quad \varepsilon = \frac{\gamma - 1}{2\gamma}, \quad Re = \frac{\rho_\infty V_\infty R_0}{\mu_0} \end{aligned}$$

Здесь  $R(\xi)R_0$  – радиус кривизны контура тела,  $R_0$  – радиус кривизны в критической точке,  $\rho_\infty \rho$  – плотность,  $V_\infty \cos \alpha u$  и  $-V_\infty \sin \alpha v$  – касательная и нормальная составляю-

щие скорости;  $\rho_\infty$  и  $V_\infty$  – плотность и скорость набегающего потока,  $\alpha$  – угол между касательной к контуру тела и скоростью набегающего потока;  $\mu_0\mu$  – коэффициент вязкости,  $\mu_0$  – коэффициент вязкости, определяемый по температуре торможения набегающего потока  $T_0$ ;  $T_0T$  – температура,  $T_0T_w$  – температура поверхности,  $H$  – полная энталпия,  $g$  – приведенная энталпия,  $\rho_\infty V_\infty^2 p$  – давление;  $r_w R_0$  – расстояние от поверхности до оси симметрии,  $\sigma$  – число Прандтля,  $Re$  – число Рейнольдса, определяемое по температуре торможения набегающего потока.

В качестве граничных условий на поверхности тела  $\zeta = 0$  берутся условия прилипания, на ударной волне  $\zeta = 1$  ( $y = y_s(x)$ ) – обобщенные условия Ренкина – Гюгонио:

$$\zeta = 0: u = 0, \quad g = 0, \quad f = 0$$

$$\zeta = 1: u = 1 - \frac{\mu\rho}{Re\Delta\sin\alpha}\frac{\partial u}{\partial\zeta}, \quad p = \sin^2\alpha, \quad f = \frac{r_w}{(1+v)\Delta\cos\alpha} \quad (1.2)$$

$$g = 1 - \frac{\mu\rho}{\sigma Re\Delta\sin\alpha}\frac{\partial u}{\partial\zeta}\left(g - \frac{1-\sigma}{1-T_w}\cos^2\alpha u^2\right)$$

Отход ударной волны  $y_s$  определяется из уравнения

$$y_s = \Delta R_0 \int_0^1 \frac{1}{\rho} d\zeta \quad (1.3)$$

Коэффициенты трения и теплопередачи на поверхности определяются как

$$c_f = \frac{2\tau}{\rho_\infty V_\infty^2} = \frac{2\cos\alpha\mu\rho}{\Delta Re}\frac{\partial u}{\partial\zeta}\Big|_w, \quad c_H = \frac{q}{\rho_\infty V_\infty(H_\infty - H_w)} = \frac{\mu\rho}{\sigma\Delta Re}\frac{\partial g}{\partial\zeta}\Big|_w$$

$$\tau = \left(\mu_0\mu\frac{\partial(V_\infty \cos\alpha u)}{\partial y}\right)_w, \quad q = \left(\lambda\frac{\partial(T_0 T)}{\partial y}\right)_w$$

**2. Режимы гиперзвуковых течений разреженного газа.** Рассмотрим при малых числах  $Re$  граничные условия на ударной волне (1.2), производя оценку входящих в них функций (полагая при этом  $f_s \sim u_s/2$ ):

$$u_s = 1 - O\left(\frac{(1+v)\sin\alpha\cos\alpha u_s^2}{2r_w\varepsilon Re[g_s(1-T_w) + T_w]^{1-\omega}}\right), \quad g_s = 1 - O\left(\frac{(1+v)\sin\alpha\cos\alpha u_s g_s}{2r_w\sigma\varepsilon Re[g_s(1-T_w) + T_w]^{1-\omega}}\right) \quad (2.1)$$

Индекс  $s$  соответствует значениям на ударной волне при  $\zeta = 1$ . Из анализа соотношений (2.1) следует

$$\frac{(1+v)\sin\alpha\cos\alpha u_s^2}{2r_w\varepsilon Re[g_s(1-T_w) + T_w]^{1-\omega}} = O(1), \quad \frac{(1+v)\sin\alpha\cos\alpha u_s g_s}{2r_w\sigma\varepsilon Re[g_s(1-T_w) + T_w]^{1-\omega}} = O(1) \quad (2.2)$$

При  $\varepsilon Re = o(1)$ :  $u_s, g_s = o(1)$

Возможны следующие три соотношения между  $g_s$  и  $T_w$

$$I: g_s \gg T_w, \quad II: g_s = O(T_w), \quad III: g_s \ll T_w \quad (2.3)$$

Этим соотношениям будет соответствовать

$$I: T_s \sim g_s, \quad II: T_s \sim g_s + T_w, \quad III: T_s \sim T_w \quad (2.4)$$

Решая систему (2.2) для каждого из этих трех случаев, получим:

$$\text{I, II: } u_s, g_s = O((\varepsilon \text{Re} \beta^*)^{1/(1+\omega)}), \text{ III: } u_s, g_s = O((\varepsilon \text{Re} T_w^{1-\omega} \beta^*)^{1/2}) \quad (2.5)$$

$$\beta^* = \frac{2r_w}{(1+v)\sin\alpha\cos\alpha} \quad (2.6)$$

Подставив (2.5) в (2.3), получим три режима течения в гиперзвуковом вязком ударном слое при малых числах  $\text{Re}$  в зависимости от соотношения параметров задачи  $\text{Re}$ ,  $\varepsilon$ ,  $T_w$ ,  $\omega$ ,  $\beta^*$

$$\text{I: } \varepsilon \text{Re} \gg T_w^{(1+\omega)} / \beta^*, \text{ II: } \varepsilon \text{Re} = O(T_w^{(1+\omega)} / \beta^*), \text{ III: } \varepsilon \text{Re} \ll T_w^{(1+\omega)} / \beta^*. \quad (2.7)$$

Этим режимам соответствуют соотношения (2.4), определяющие оценку температуры в каждом из режимов при асимптотическом исследовании задачи и соответственно оценку зависящих от температуры плотности и коэффициента вязкости.

В точке торможения  $\beta^* \sim 1$ , и соотношения (2.7) соответствуют соотношениям [7].

В данной работе рассматривается режим I, соответствующий сильно охлажденной поверхности:  $T_w \ll (\varepsilon \text{Re} \beta^*)^{1/(1+\omega)}$ . В этом режиме  $u_s, g_s = O((2r_w \varepsilon \text{Re} / ((1+v)\sin\alpha\cos\alpha))^{1/(1+\omega)})$ .

**3. Асимптотическое решение.** Получим асимптотическое решение задачи (1.1)–(1.2) для коэффициента теплопередачи  $c_H$ , коэффициента трения  $c_f$  и давления  $p$  при малых числах  $\text{Re}$  и  $\varepsilon$  в режиме I.

Сначала систему уравнений (1.1) с граничными условиями (1.2) будем решать интегральным методом последовательных приближений с помощью алгоритма, изложенного в [9]. Этот метод позволяет получать как численное решение задачи путем вычисления достаточно большого числа приближений, так и приближенное аналитическое решение в первом приближении. В [9] было получено аналитическое решение уравнений тонкого вязкого ударного слоя в случае  $\omega = 1/2$ . Для произвольных значений  $\omega$  в первом приближении метода последовательных приближений, при задании нулевого приближения в виде линейных функций по поперечной координате  $\zeta$ , получим следующие выражения для коэффициентов теплопередачи и трения  $c_H, c_f$ :

$$c_H = \Delta_H \frac{(\beta + v) \sin \alpha}{2R\beta} a \left( 1 - \frac{2b}{3} \right), \quad \beta = \frac{r_w}{R \cos \alpha} \\ c_f = \Delta_u \frac{(\beta + v) \sin \alpha}{R\beta} a \left[ 1 - \frac{2a}{3} \left( 1 + \frac{\beta}{\beta + v} \right) + \frac{2\varepsilon b \beta}{a(\beta + v) \sin^2 \alpha} \right] \quad (3.1)$$

$$\Delta_H = \frac{-b_4 + \sqrt{b_4^2 + 4b_3}}{2b_3}, \quad \Delta_u = \frac{-a_4 + \sqrt{a_4^2 + 4a_3}}{2a_3} \quad (3.2)$$

$$b_3 = \frac{\sigma \text{Re} \varepsilon (\beta + v) ab^{1-\omega}}{2R\beta \sin \alpha (2-\omega)} \left( 1 - \frac{4-\omega}{5-\omega} b \right) \quad (3.3)$$

$$a_3 = \frac{\text{Re} \varepsilon (\beta + v) ab^{1-\omega}}{2R\beta \sin \alpha (2-\omega)} \left( 1 - \frac{4-\omega}{5-\omega} a - \frac{2\beta a}{(\beta + v)(5-\omega)} + \frac{4\beta b \varepsilon}{\sin^2 \alpha (\beta + v)(4-\omega)a} \right)$$

$$b_4 = \frac{(\beta + v)a}{2R\beta} (1 - b), \quad a_4 = \frac{(\beta + v)a}{2R\beta} (1 - a)$$

Здесь  $a$  и  $b$  определяются из системы уравнений

$$a = 1 - \frac{(1+v)\sin\alpha\cos\alpha a^2}{2\operatorname{Re}\epsilon r_w b^{1-\omega}}, \quad b = 1 - \frac{(1+v)\sin\alpha\cos\alpha ab}{2\sigma\operatorname{Re}\epsilon r_w b^{1-\omega}} \quad (3.4)$$

Решение этих уравнений при  $\operatorname{Re}\epsilon = o(1)$  будет

$$a = \tau, \quad b = \sigma\tau, \quad \tau = (\sigma^{1-\omega}\epsilon\operatorname{Re}\beta^*)^{1/(1+\omega)} \quad (3.5)$$

где  $\beta^*$  определяется (2.6). Используя (3.5), запишем  $a_3$  и  $b_3$  в виде

$$\begin{aligned} b_3 &= \frac{(1+v)(\beta+v)b^3}{4\sigma^2 R^2 \beta^2 (2-\omega)} \left( 1 - \frac{4-\omega}{5-\omega} b \right) \\ a_3 &= \frac{(1+v)(\beta+v)a^3}{4R^2 \beta^2 (2-\omega)} \left( 1 - \frac{4-\omega}{5-\omega} a - \frac{2\beta a}{(\beta+v)(5-\omega)} + \frac{4\beta\sigma\epsilon}{\sin^2\alpha(\beta+v)(4-\omega)} \right) \end{aligned} \quad (3.6)$$

Для определения функций  $\Delta_u$  и  $\Delta_H$  подставим  $a_3$  и  $b_3$  (3.6) и  $a_4$  и  $b_4$  (3.3) в (3.2). Считая параметр  $\tau$  малым и соответственно  $a$  и  $b$  малыми и раскладывая в полученных выражениях все функции в ряды по этому параметру, получим

$$\begin{aligned} \Delta_H &= \frac{2\xi\sin\alpha}{\cos\alpha\beta_w a} \left( 1 + \sigma a \left( 1 - \frac{(1+v)}{(2-\omega)\beta} \right) + O(\tau^2) \right) \\ \Delta_u &= \frac{2\xi\sin\alpha}{\cos\alpha\beta_w a} \left( 1 + a \left( 1 - \frac{(1+v)}{(2-\omega)\beta} \right) + O(\tau^2, \epsilon^2, \tau\epsilon) \right) \end{aligned} \quad (3.7)$$

Формулы (3.1), (3.5), (3.7) определяют асимптотическое решение для коэффициентов трения и теплопередачи на боковой поверхности осесимметричных или плоских затупленных тел в зависимости от параметров  $\operatorname{Re}$ ,  $\epsilon$ ,  $\sigma$ ,  $\omega$  и геометрии обтекаемой поверхности:

$$\begin{aligned} c_H &= \sin\alpha \left[ 1 - \left( \frac{(1+v)}{(2-\omega)(\beta+v)} - \frac{1}{3} \right) \sigma\tau \right] + O(\tau^2) \\ c_f &= 2\sin\alpha \left[ 1 - \left( \frac{(1+v)}{(2-\omega)(\beta+v)} + \frac{2\beta}{3(\beta+v)} - \frac{1}{3} \right) \tau + \frac{2\epsilon\sigma\beta}{\sin^2\alpha(\beta+v)} \right] + O(\tau^2, \epsilon^2, \epsilon\tau) \\ \tau &= (\sigma^{1-\omega}\epsilon\operatorname{Re}\beta^*)^{1/(1+\omega)}, \quad \beta = \frac{r_w}{R\cos\alpha}, \quad \beta^* = \frac{2r_w}{(1+v)\sin\alpha\cos\alpha} \end{aligned} \quad (3.8)$$

$$\lim_{\operatorname{Re}\epsilon \rightarrow 0} c_H = \sin\alpha, \quad \lim_{\operatorname{Re}\epsilon \rightarrow 0} c_f = 2\sin\alpha(1 + 2\sigma\epsilon\beta/(\sin^2\alpha(\beta+v))), \quad \lim_{\substack{\operatorname{Re}\epsilon \rightarrow 0 \\ \epsilon \rightarrow 0}} c_f = 2\sin\alpha$$

При стремлении числа  $\operatorname{Re}$  к нулю (при  $\epsilon\operatorname{Re} \rightarrow 0$ ), значение коэффициента теплопередачи стремится к его значению в свободномолекулярном потоке, равному  $\sin\alpha$  при коэффициенте аккомодации 1 [12]. Поскольку коэффициент трения зависит не только от параметра  $\epsilon\operatorname{Re}$ , но также и от  $\epsilon$ , такое стремление к своему свободномолекулярному пределу, равному  $2\sin\alpha$ , для коэффициента трения имеет место при условии  $\epsilon \rightarrow 0$  или при равенстве нулю члена с продольным градиентом давления в уравнении импульсов в продольном направлении, т.е при использовании строгой модели тонкого вязкого ударного слоя. В этом случае выражение для коэффициента трения примет вид

$$c_f = 2\sin\alpha \left[ 1 - \left( \frac{(1+v)}{(2-\omega)(\beta+v)} + \frac{2\beta}{3(\beta+v)} - \frac{1}{3} \right) \tau \right] + O(\tau^2), \quad \lim_{\operatorname{Re}\epsilon \rightarrow 0} c_f = 2\sin\alpha \quad (3.9)$$

В уравнениях (1.1) оставлен внепорядковый член с продольным градиентом давления, чтобы расширить область применимости тонкого вязкого ударного слоя до больших чисел  $Re$ , где этот член играет существенную роль. В выражениях для коэффициента теплопередачи отсутствуют члены с параметром  $\epsilon$ , что связано с тем, что при малых числах  $Re$  учет продольных составляющих градиента давления влияет на напряжение трения и не влияет на теплопередачу, что подтверждается и численными расчетами.

Для распределения давления на поверхности аналогичным образом можно получить следующее приближенное решение:

$$p = \sin^2 \alpha - \frac{2r_w \cos \alpha}{3(1+v)R} \tau + O(\tau^2), \quad \lim_{Re\epsilon \rightarrow 0} p = \sin^2 \alpha \quad (3.10)$$

При стремлении числа  $Re$  к нулю модель тонкого вязкого ударного слоя дает распределение давления по Ньютону.

В точке торможения полученные решения для коэффициентов трения и теплопередачи переходят в соответствующие формулы [7].

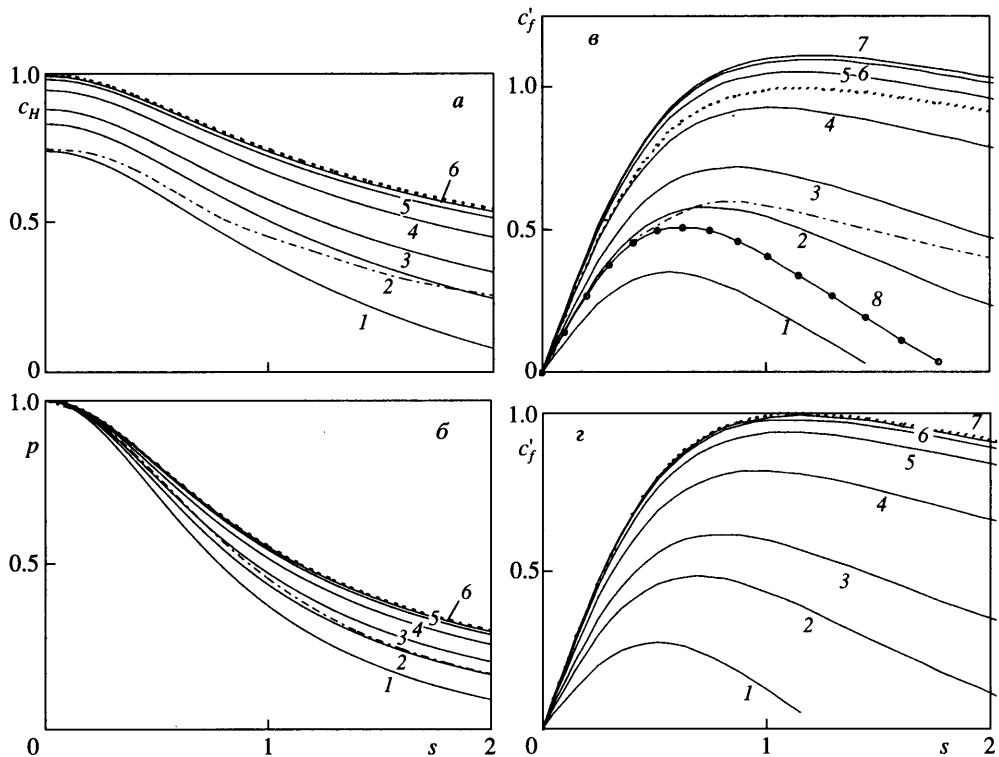
Полученное решение зависит от газодинамических параметров  $Re$ ,  $\epsilon$ ,  $\sigma$ ,  $\omega$  через одну комбинацию –  $\tau$  (коэффициент теплопередачи зависит от  $\tau^* = \sigma\tau$ ), т.е. параметр  $\tau(\tau^*)$  – параметр подобия данной задачи. Параметр  $\tau$  характеризует разреженность потока и зависит от двух частей – газодинамической и геометрической. Газодинамическая часть зависит от параметров набегающего потока  $Re$ ,  $\epsilon$ ,  $\sigma$ ,  $\omega$  и определяет разреженность потока вблизи точки торможения ( $\beta^* = 2/(1+v)$ ). Геометрический параметр  $\beta^*$  увеличивает  $\tau$  и уменьшает разреженность потока с увеличением расстояния от точки торможения (поток уплотняется).

**4. Обсуждение результатов.** Полученные асимптотические решения уравнений тонкого вязкого ударного слоя сравнивались с численными решениями, результатами расчетов методом прямого статистического моделирования Монте-Карло и решением в свободномолекулярном потоке. В качестве модельных тел рассматривались сфера, параболоид и круговой цилиндр.

На фиг. 1 приведены аналитические решения для распределений давления  $p$  (a), коэффициента теплопередачи  $c_H$  (б) и коэффициента трения  $c_f' = c_f \cos \alpha$  (в, г) вдоль поверхности параболоида вращения при различных числах  $Re$ . Здесь же приведены решения в свободномолекулярном потоке для соответствующих величин, а также численные решения [10] при  $Re = 2.4$ . Решения [10] получены в пренебрежении первым членом  $\sim u^2$  в уравнении импульсов в продольном направлении в системе (1.1), поэтому для правильного сравнения было получено аналитическое решение для коэффициента трения в том же приближении  $c_f^*$ . Асимптотические решения удовлетворительно согласуются с численными решениями в области торможения, где течение является разреженным.

С удалением от точки торможения, с увеличением расстояния  $s$  параметр  $\tau$  возрастает из-за влияния геометрического параметра  $\beta^*$ , поток уплотняется, предположение о малости параметра разреженности  $\tau$  нарушается и, естественно, асимптотическое решение все более отклоняется от численного. Чем меньше число  $Re$ , тем на все более далеких расстояниях от точки торможения справедливо асимптотическое решение. Параметр  $\tau$  характеризует область применимости асимптотического решения.

С уменьшением числа  $Re$  коэффициент теплопередачи и давление, как демонстрирует фигура 1, приближаются к своим решениям в свободномолекулярном режиме обтекания и при  $Re = 10^{-3}$  практически совпадают с ними. Фигура 1, в показывает, что предельное решение для коэффициента трения, определяемого по (3.8), отличается от свободномолекулярного решения (на величину  $O(\epsilon)$ ) из-за влияния продольного градиента давления. В то же время решение для коэффициента трения (3.9) (соответствующее

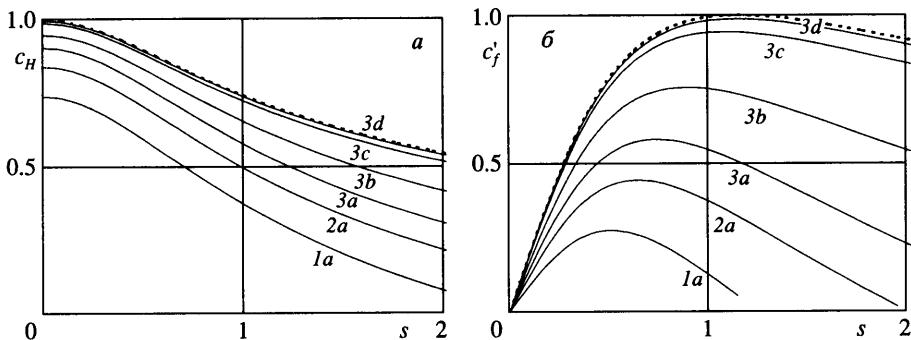


Фиг. 1. Зависимости  $c_H$ ,  $p$ ,  $c_f'$  вдоль поверхности параболоида вращения от расстояния от точки торможения  $s$  для разных чисел  $Re$ . Сплошные линии – асимптотическое решение при  $Re = 2.4, 1, 0.5, 0.1, 0.01, 0.001, 0.0001$  (1–7), (линия 8 –  $c_f^*$  при  $Re = 2.4$ ), штрихпунктирные – численное решение [10] при  $Re = 2.4$ , пунктирные – свободномолекулярное течение;  $\alpha$  и  $\gamma$  – расчет  $c_f$  по (3.8) и (3.9);  $\omega = 1$ ,  $\sigma = 0.71$

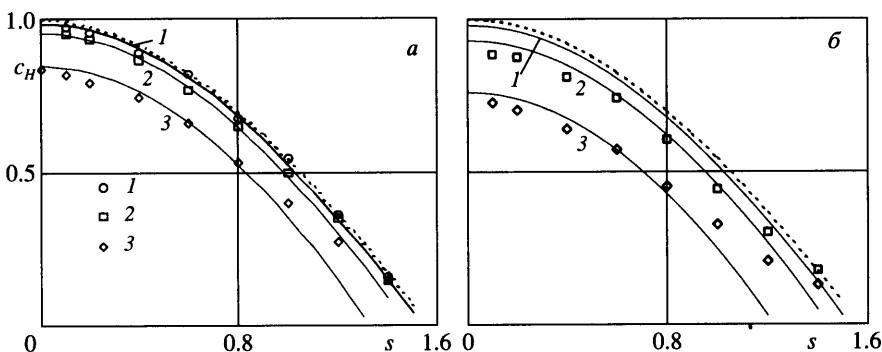
строгой модели тонкого вязкого ударного слоя), как видно из фиг. 1,  $\alpha$ , при уменьшении числа  $Re$  переходит в решение в свободномолекулярном потоке.

Фигура 2 демонстрирует влияние на коэффициенты теплопередачи и трения параметров  $\omega$  и  $\epsilon$ . Уменьшение  $\omega$  и  $\epsilon$  (или  $\gamma$ ) ведет к уменьшению параметра  $\tau$  и соответственно к увеличению  $c_H$  и  $c_f$ .

На фиг. 3 проводится сравнение асимптотических решений для распределений коэффициента теплопередачи вдоль поверхности сферы ( $\alpha$ ) и цилиндра ( $\beta$ ) с расчетами методом прямого статистического моделирования Монте-Карло [2, 3] вдоль траектории входа в атмосферу Земли космического аппарата Shuttle на высотах 90, 100 и 110 км. Здесь же приведено решение в свободномолекулярном режиме обтекания. Асимптотические решения очень хорошо согласуются с решениями, полученными методом Монте-Карло. На высоте 90 км при  $s > 1$  с увеличением расстояния от точки торможения асимптотическое решение становится неточным, поскольку предположение о малости  $\tau$  при получении асимптотического решения начинает нарушаться из-за влияния геометрического параметра  $\beta^*$  (уплотнения потока). Фигура 3 иллюстрирует также, что решение, полученное на основе модели тонкого вязкого ударного слоя, с увеличением высоты полета или увеличением разреженности (увеличением числа Кнудсена или уменьшением числа  $Re$ ) приближается к решению в свободномолекулярном потоке.



Фиг. 2. Зависимости  $c_H$ ,  $c_f'$  вдоль поверхности параболоида вращения от  $s$  при  $Re = 2.4$  для  $\omega = 1, 0.75, 0.5$  ( $1-3$ ) и  $\epsilon = 0.125, 0.05, 0.005, 0.0005$  ( $a, b, c, d$ ); пунктирные линии – свободномолекулярное течение



Фиг. 3. Распределение коэффициента теплопередачи вдоль поверхности сферы (а) и цилиндра (б) в зависимости от  $s$  вдоль траектории входа в атмосферу Земли аппарата “Shuttle” на высотах 110, 100, 90 км: сплошные кривые 1–3 – асимптотические решения, точки 1–3 – расчеты методом Монте-Карло [2](а) и [3](б);  $V_\infty = 7.5$  км/с,  $R_0 = 0.0254$  м; пунктирные линии – свободномолекулярное течение

**Заключение.** С помощью асимптотического анализа выделены три режима гиперзвукового течения разреженного газа около затупленного тела в зависимости от параметров задачи: числа  $Re$ ,  $\epsilon = (\gamma - 1)/2\gamma$  (где  $\gamma$  – отношение удельных теплоемкостей), показателя степени  $\omega$  (при  $\mu \sim T^\omega$ ), температуры поверхности  $T_w$  и геометрического параметра  $\beta^*$ . Для режима сильно охлажденной поверхности получены асимптотические решения уравнений тонкого вязкого ударного слоя при малых числах  $Re$  для осесимметричной и плоской задачи. Определен параметр подобия гиперзвукового обтекания тел разреженным газом в рассматриваемом режиме холодной стенки:  $\tau = (\sigma^{1-\omega} \epsilon Re \beta^*)^{1/(1+\omega)}$ , газодинамические параметры набегающего потока  $Re$ ,  $\epsilon$ ,  $\omega$ ,  $\sigma$  (число Прандтля) входят в решение через параметр  $\tau$ . Даны простые аналитические выражения для расчета давления и коэффициентов теплопередачи и трения в переходном режиме обтекания в зависимости от параметра  $\tau$  (коэффициент теплопередачи зависит от  $\tau^* = \sigma \tau$ ) и геометрии обтекаемого тела. При стремлении числа  $Re$  к нулю коэффициент теплопередачи и давление приближаются к своим значениям в свободномолекулярном потоке. Коэффициент трения приближается к свободномолекулярному пределу при использовании строгой модели тонкого вязкого ударного слоя (нулевой продольный градиент давления).

Результаты асимптотического исследования и проведенные сравнения с результатами расчета методом прямого статистического моделирования Монте-Карло показали, что модель тонкого вязкого ударного слоя и полученные аналитические решения могут быть использованы для расчета теплопередачи, трения и давления при гиперзвуковом течении разреженного газа в переходном к свободномолекулярному режиме обтекания.

Автор выражает благодарность Г.А. Тирскому за полезные обсуждения.

Работа выполнена при поддержке грантов “Ведущие научные школы” – НШ-835.2006.1 и РФФИ (№ 06-01-00695).

### СПИСОК ЛИТЕРАТУРЫ

1. Тирский Г.А. Континуальные модели в задачах гиперзвукового обтекания затупленных тел разреженным газом // ПММ. 1997. Т. 61. Вып. 6. С. 903–930.
2. Moss J.N., Cuda V.J., Simmonds A.L. Nonequilibrium effects for hypersonic transitional flows // AIAA Paper. 1987. № 87-0404.
3. Cuda V.J., Moss J.N. Direct simulation of hypersonic flows over blunt wedges // J. Thermophysics and Heat Transfer. 1987. V. 1. № 2. P. 97–104.
4. Vashchenkov P., Kashkovsky A., Ivanov M. Numerical analysis of aerodynamics of reentry vechicles in wide range of Knudsen numbers // Papers East West High Speed Flow Field Conf., Beijing, 2005. P. 1–8.
5. Jain A.C., Hayes J.R. Hypersonic pressure, skin-friction, and heat transfer distributions on space vechicles: planar bodies // AIAA Journal. 2004. V. 42. № 10. P. 2060–2069.
6. Cheng H.K. Hypersonic shock-layer theory of the stagnation region at low Reynolds number // Proc. Heat Transfer and Fluid Mech. Inst. Stanford, Calif.: Stanford Univ. Press, 1961. P. 161–175.
7. Брыкина И.Г. Асимптотическое решение уравнений тонкого вязкого ударного слоя при малых числах Рейнольдса для холодной поверхности // Изв. РАН. МЖГ. 2004. № 5. С. 159–170.
8. Brykina I.G., Rogov B.V., Tirsckiy G.A. Continuum approach to hypersonic aerodynamics and heat transfer prediction at low Reynolds number // Proc. Rarefied Gas Dynamics 24th Intern. Symp. Ed. Mario Capitelli, N. Y.: AIP. V. 762. 2005. P. 1235–1240.
9. Брыкина И.Г. Интегрирование уравнений гиперзвукового вязкого ударного слоя методом последовательных приближений // Журн. вычисл. математики и мат. физики. 1978. Т. 18. № 1. С. 154–166.
10. Cheng H.K. The blunt body problem in hypersonic flow at low Reynolds number // IAS Paper. 1963. № 63–92. 100 p.
11. Khanukaeva D.Yu., Tirsckiy G.A., Marec J.-P. A meteoroid ballistics in the non-isothermal atmosphere // Acta Astronautica. 2005. V. 57. № 10. P. 811–817.
12. Хейз У.Д., Пробстин Р.Ф. Теория гиперзвуковых течений. М.: Изд-во иностр. лит., 1962. 407 с.

Москва

Поступила в редакцию  
10.III.2006